

***Pholcus circularis* Kraus, 1960**

**Kraus, O. 1960.** Mission du Muséum dans les Iles du Golfe de Guinée. Araneae von der Insel São Thomé. Rev. Francaise Entomol. 27(1): 92-100.

p. 93

*Pholcus circularis*, n. sp. — Fig. 1-5.

♂ *Beschreibung* : Ceph so lang wie breit. H des Clypeus 0,73 (=  $3\frac{1}{2}$  facher Längsmesser der VS). Sternum glatt, glänzend. Cheliceren frontal mit flachem Höcker, der teilweise von der Clypeus-Unterkante verdeckt ist ; prolateral und unmittelbar an die Clypeus-Unterkante anschliessend ein kegelliger Vorsprung ; frontal-medial mit 2 weiteren Zahnhöckern hintereinander (abgesehen von den grossen Endzähnen des Falzrandes) (Fig. 1). — Reihe der VA leicht procurv ;

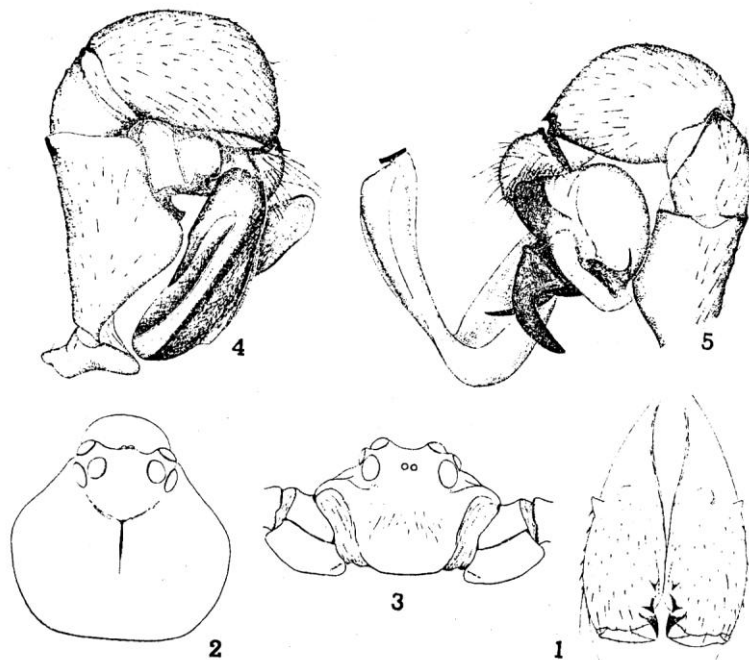


Fig. 1-5. *Pholcus circularis*, n. sp. — 1) Cheliceren von frontal ; 2) Ceph von dorsal ; 3) von frontal ; 4) rechter ♂-Pedipalpus von lateral ; 5) schräg von medial-hinten.

die untere Tangente der VM schneidet die Zentren der VS. HA merklich recurv.  $VM < HM = HS < VS$ . VM einander genähert, ihr Abstand etwa  $\frac{1}{3}$  ihres Durchmessers ; Abstand VM-VS sehr wenig grösser als der doppelte Durchmesser der VM. Die HM um etwas weniger als ihren  $1\frac{1}{2}$  fachen Längsmesser voneinander entfernt (Fig. 2-3). — Beine : Längenverhältnis der Fe  $\leftarrow \rightarrow$  II : IV : III : I.

Pedipalpen (Fig. 4-5) : Apophyse des Trochanter stumpfkegelig, gerade ; Fe, Pt und Ti ohne Besonderheiten. Ta-Apophyse sehr stark entwickelt, fast kreisförmig gebogen, lateral mit einem groben Neben-

dorn. Bulbus mit kleiner, geschwärtzter Haken-Apophyse, einem schlauchförmigen, weichhäutigen Fortsatz und einer groben, grossen Apophyse, die im apicalen Drittel dicht mit scharfkörnigen Papillen besetzt ist.

Abd etwa 2,3 mal länger als breit.

*Masse* : Ceph L 1,65 ; B 1,60. — Abd L 3,8 ; B 1,7 — Fe I 6,0 ; II 7,8 ; III 6,1 ; IV 7,7.

*A-Durchmesser* : VM 0,06 ; VS 0,21 ; HM 0,18 ; HS 0,18. — *Abstände* : VM 0,02 ; VM-VS 0,13 ; HM 0,25.

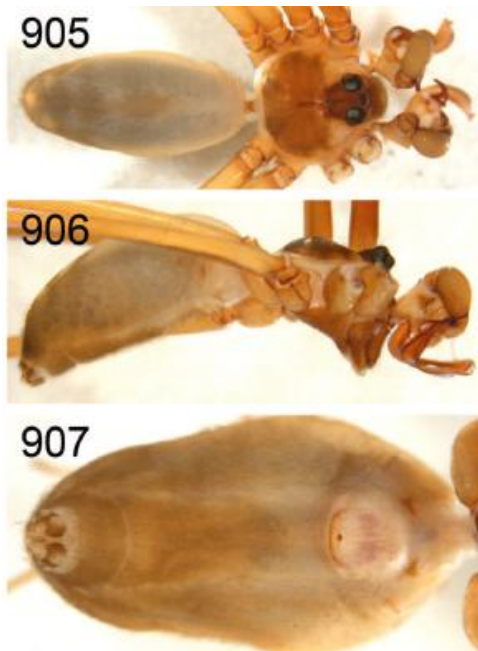
*Färbung* : Ceph mit Clypeus hornbraun, schwärzlich bereift, lediglich die Seitenrandzone und das Gebiet zwischen Coxa I und der A-Region hell horn gelb. Sternum einfarbig hornbraun. Abd dorsal grau, mit etwas dunkler grauer Medianbinde, die erst im 2. Viertel beginnt und durch mehrfache Einschnürung in ovale und schliesslich keilförmige Abschnitte gegliedert wird. Ventralseite bleich und einförmig grau.

*Bemerkung* : Das ♂ von Traz-os-Montes, Bombaim, weicht geringfügig ab : Am Fe der Pedipalpen ist die beulige Aufblähung nicht stumpf gerundet, sondern in eine flache Kegelspitze erweitert ; die grosse, geschwärtzte Bulbus-Apophyse erscheint gedrungener und läuft in eine nur stumpflappige Spitze aus ; alle weiteren Merkmale übereinstimmend, auch die Ausbildung der Cheliceren.

*Material und Fundorte* : Diogo Vaz, Monte das Quinas, 1500 m (1 ♂ Holotypus Mus. Paris, 1 ♂ Paratypoid SMF 11216 ; P. Viette leg. 15.VI.1956).

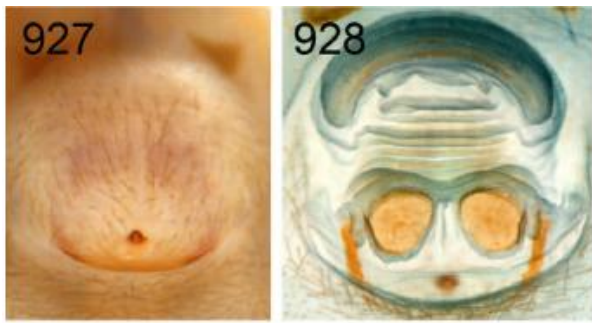
Traz-os-Montes, Bombaim, 450 m (1 ♂ Paratypoid Mus. Paris ; P. Viette leg. 7.VI.1956).

**Huber, B. A. 2011.** Revision and cladistic analysis of *Pholcus* and closely related taxa (Araneae, Pholcidae). Bonner zool. Monographien 58: 1-510.



905-907. *Ph. circularis*, male, dorsal and lateral views; female abdomen, ventral view.

p. 199



927, 928. *Ph. circularis*.

p. 212

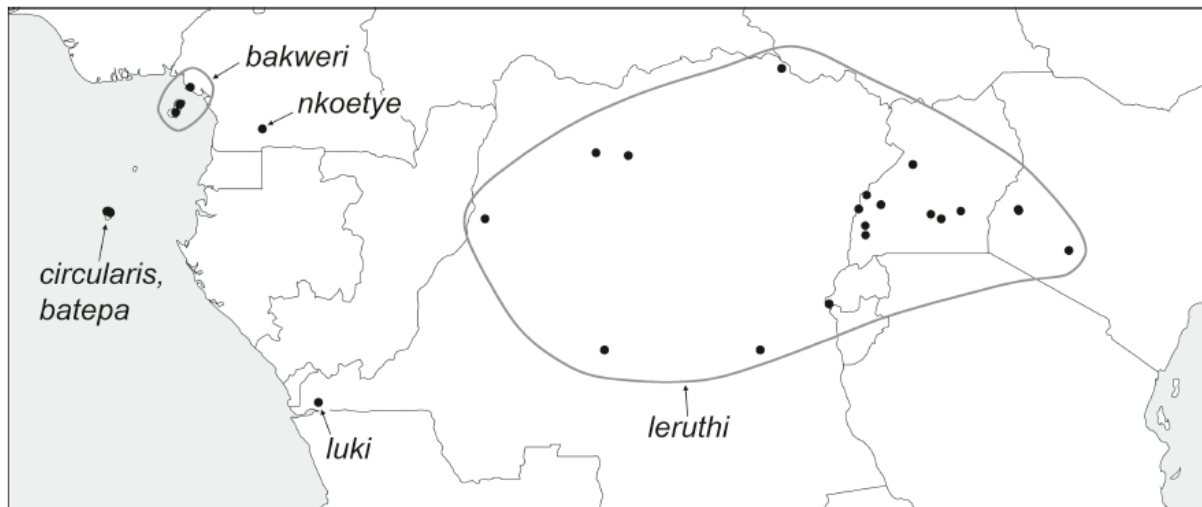


FIG. 987. Known distribution of the *Pholcus circularis* species group.

*Pholcus circularis* Kraus, 1960

Figs. 905-907, 927, 928, 988-993

*Pholcus circularis* Kraus 1960: 93-94, figs. 4-6; [except male from Traz-os-Montes, Bombaim; see *Ph. batepa* below].

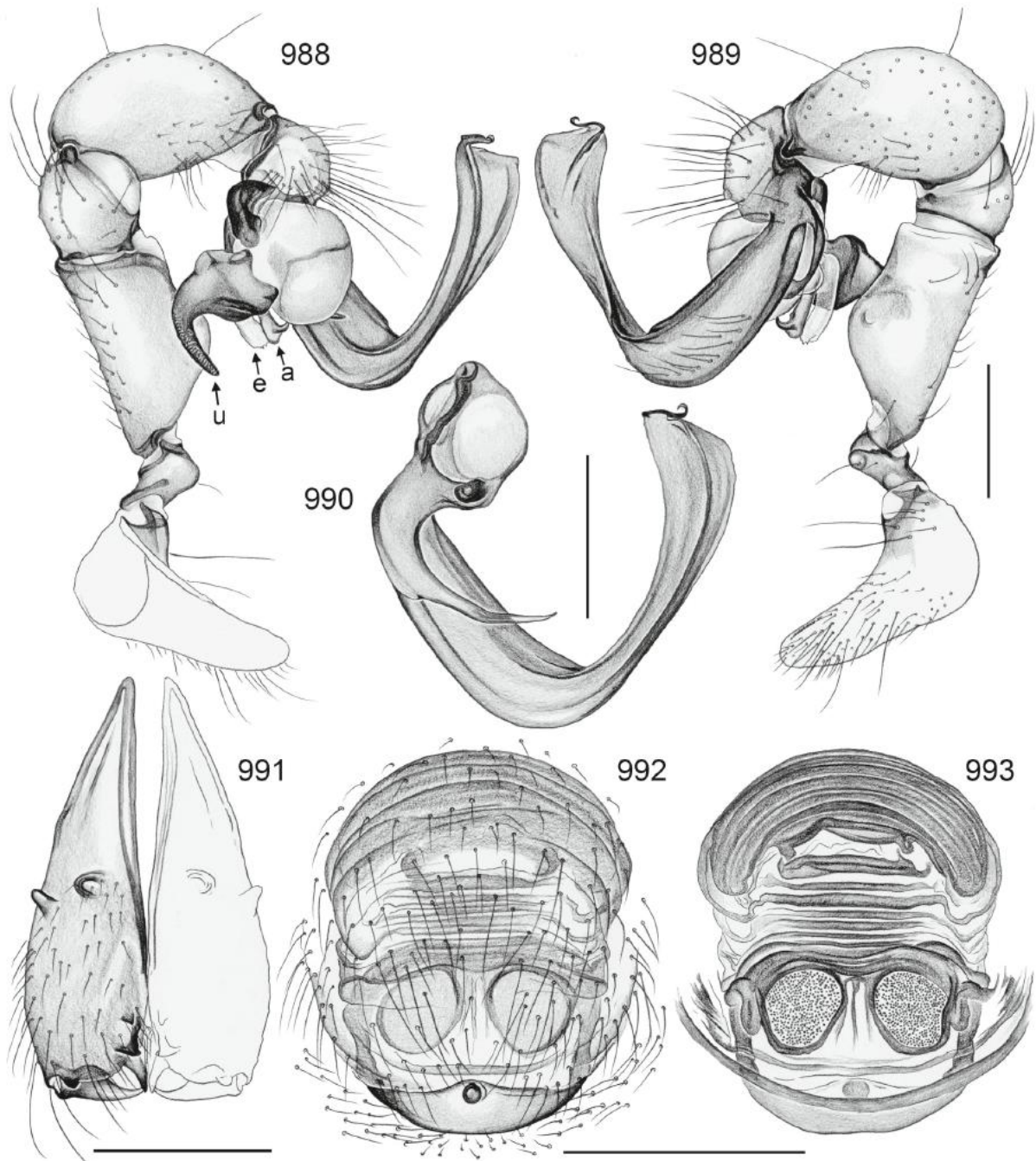


FIG. 988-993. *Pholcus circularis*. 988, 989. Left male palp, prolateral and retrolateral views. 990. Left procursor, prolatero-ventral view. 991. Male chelicerae, frontal view. 992, 993. Cleared female genitalia, ventral and dorsal views. Scale lines: 0.5.



*Types.* Male holotype from São Tomé and Príncipe, São Tomé, Monte das Quinas [0°18'N, 6°31'E], Diogo Vaz, 1500 m a.s.l., 15.vi.1956 (P. Viette), in MNHN (AR 10220), examined; one male paratype, same data, in SMF (11.216/1), examined.

*Note.* The second paratype assigned tentatively to *Ph. circularis* by Kraus (1960) is here assigned to a different species (see *Ph. batepa* below).

*Diagnosis.* Easily distinguished from congeners by long curved procurus (Figs. 988-990), from most (except *Ph. batepa*) also by spine-like process on procurus (Fig. 990), by shapes of uncus and appendix, by male cheliceral armature (Fig. 991; two pairs of distal apophyses), and female genitalia (Figs. 927, 992). The MCZ has a male from Cameroon (Eb-olowa) with a very similar procurus but without AME, with a second process arising proximally from the procurus, and a wider uncus.

*Male* (P.N. Ôbó). Total body length 5.3, carapace width 1.8. Leg 1: 44.8 (10.6 + 0.7 + 10.8 + 19.1 + 3.6), tibia 2: 7.9, tibia 3: 5.5, tibia 4: 7.5; tibia 1 L/d: 61. Habitus as in Figs. 905 and 906. Carapace, ocular area and clypeus light brown, only lateral of ocular area and margins ochre-yellow, sternum brown, legs light brown, abdomen ochre-gray with indistinct pattern of light brown marks dorso-posteriorly, ventrally with very indistinct brown band posteriorly (cf. female, Fig. 907). Distance PME-PME 265 µm, diameter PME 160 µm, distance PME-ALE 45 µm, distance AME-AME 55 µm, diameter AME 55 µm. Ocular area slightly elevated, triads not on stalks. No thoracic furrow (only dark line anteriorly); clypeus unmodified. Chelicerae as in Fig. 991, two pairs of distal frontal apophyses, with proximal lateral and frontal apophyses. Sternum wider than long (1.15/0.95), unmodified. Palps as in Figs. 988 and 989, coxa unmodified, trochanter with rounded retrolateral apophysis (longer than appears in Fig. 989), femur with large ventral hump, procurus distinctively long and strongly curved, with spine-like process proximally on prolateral side (Fig. 990), small hooked sclerite distally, bulb with slender curved uncus, short pale embolus, roughly T-shaped appendix. Legs without spines, few vertical hairs, with curved hairs on tibiae and metatarsi 1-3; retrolateral trichobothrium on tibia 1 at 3%; prolateral trichobothrium absent on tibia 1, present on other tibiae; tarsal pseudosegments indistinct, only distally a few visible in dissecting microscope.

*Variation.* Tibia 1 in 3 other males from P.N. Ôbó: 10.8, 10.9, 11.5; pattern on abdomen variably dis-

tinct. The holotype is in fair condition, carapace width: 1.55, tibia 1: 10.5; the paratype is a very pale but large specimen, carapace width: 2.0, tibia 1 missing.

*Female.* In general similar to male, also with curved hairs on legs, triads only slightly closer together (distance PME-PME 240 µm). Tibia 1 in 13 females: 9.2-11.8 (mean 10.7). Epigynum mostly weakly sclerotized and pale gray, with narrow plate with small sclerotized 'knob' (Figs. 927, 992); internal genitalia as in Figs. 928 and 993.

*Distribution.* Known from São Tomé only (Fig. 987).

*Material examined.* SÃO TOMÉ AND PRÍNCIPE: São Tomé: Diogo Vaz, Monte das Quinas: ♂ holotype and 1♂ paratype above; Parque Nacional Ôbó, forest near radio tower, 1.63 air km WSW Bom Sucesso (0°16.6'N, 6°36.3'E), 1350 m a.s.l., general collecting, 9.-16.iv.2001 (C.E. Griswold), 6♂13♀ (2 vials) in CAS; same data but beating forest under-story, 1♂ 2 juvs. in CAS.